

UNIVERSIDADE FEDERAL DE SANTA CATARINA  
CENTRO TECNOLÓGICO  
PROGRAMA DE PÓS-GRADUAÇÃO EM ENGENHARIA ELÉTRICA  
DISCENTES: CARLOS ANDRÉ ANTUNES, JOÃO LUCAS PEREIRA DOS SANTOS DE PAULA E  
SHIRLEY KAROLINA DA SILVA FERREIRA

**Processamento de Sinais Biomédicos (T1)**

### Considerações Iniciais

Para o desenvolvimento deste trabalho, foi utilizada a linguagem de programação python e a ferramenta de desenvolvimento Colab.

### Problema 1: Autocorrelação para detecção de sinais na presença de ruído.

Considerando uma senoide de  $1 V_{pp}$  e  $17 Hz$ , definida como  $x_1(t)$ ; e um ruído aleatório de  $5 V_{pp}$ , definido como  $x_2(t)$ , a Figura 1 ilustra cada sinal e a soma das componentes individuais, ou seja:

$$x(t) = x_1(t) + x_2(t) \quad (1)$$

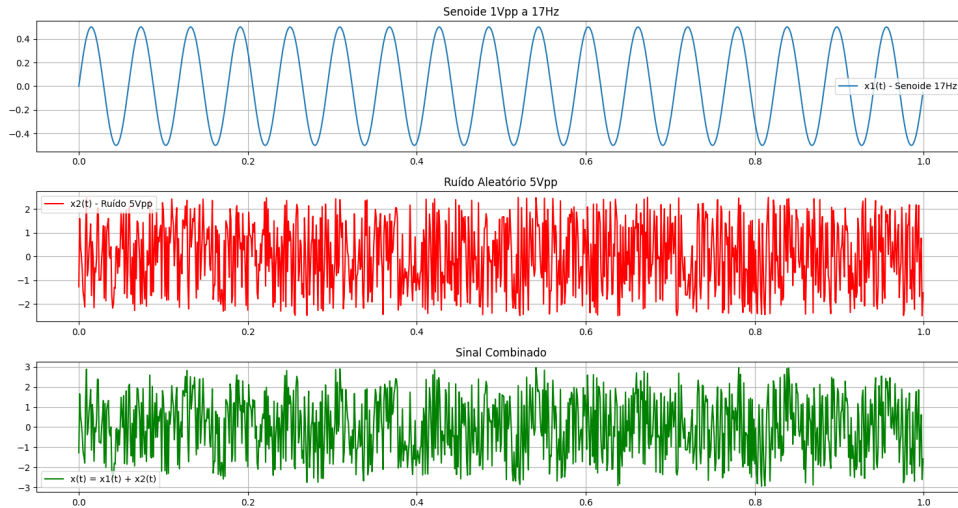


Figura 1 – Senoide (em azul), ruído aleatório (em vermelho) e sinal resultante da soma entre estes dois sinais (em verde).

Neste problema será utilizada a operação de autocorrelação no domínio discreto (Equação 2) para a detecção de sinais periódicos na presença de ruído, ou seja, a entrada da função de autocorrelação é o sinal ruidoso  $x(t)$ .

$$r_{xx}(j) = \frac{1}{N} \sum_{n=0}^{N-1} X(n) \times X(n+j) \quad (2)$$

A autocorrelação de  $x(t)$  é mostrada na Figura 2.

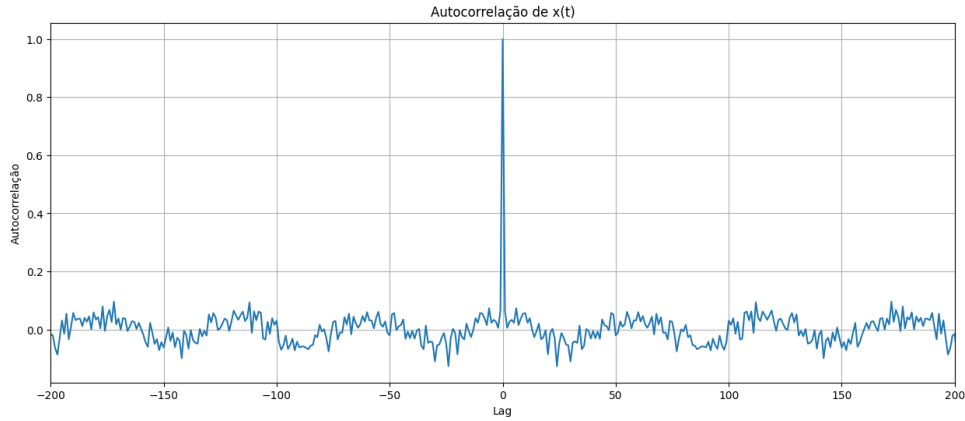


Figura 2 – Autocorrelação do sinal ruidoso  $x(t)$ .

Dessa forma, é possível verificar que a autocorrelação do sinal  $x(t)$  consiste na soma da autocorrelação do sinal senoidal com a autocorrelação do sinal aleatório (ruído), ou seja:

$$r_{xx}(j) = r_{11}(j) + r_{22}(j) \quad (3)$$

A Figura 3 ilustra este resultado:

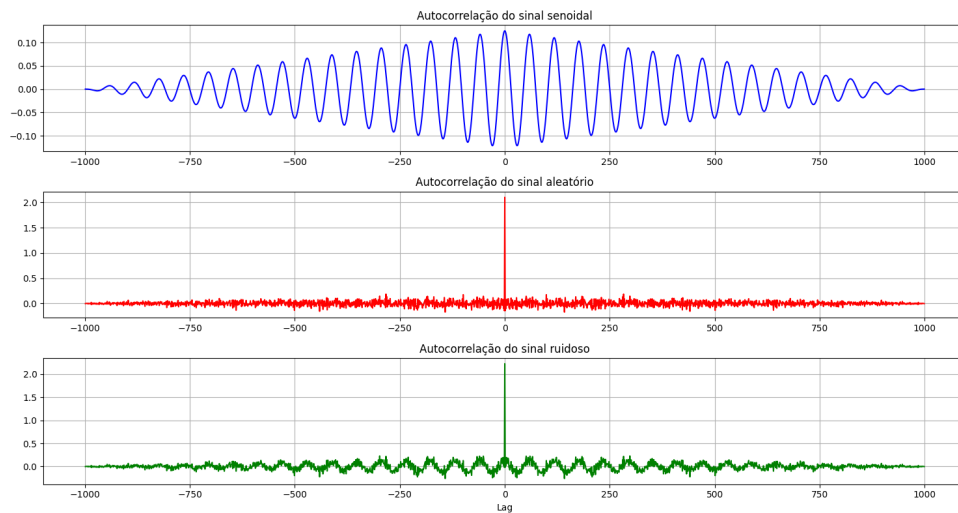


Figura 3 – A autocorrelação representando a soma de dois sinais não correlacionados, ou seja, sinal + ruído, consiste na soma das funções de autocorrelação das componentes individuais.

O espectro da autocorrelação resultante indica a maior atividade na frequência de, aproximadamente,  $17Hz$ , como mostrado na Figura 4 a seguir.

Ao se utilizar a autocorrelação para a detecção de sinais periódicos escondidos em ruídos, não é possível recuperar o sinal original completamente, devido à perda de informação de fase, porém, é possível determinar a amplitude e a frequência do sinal original.

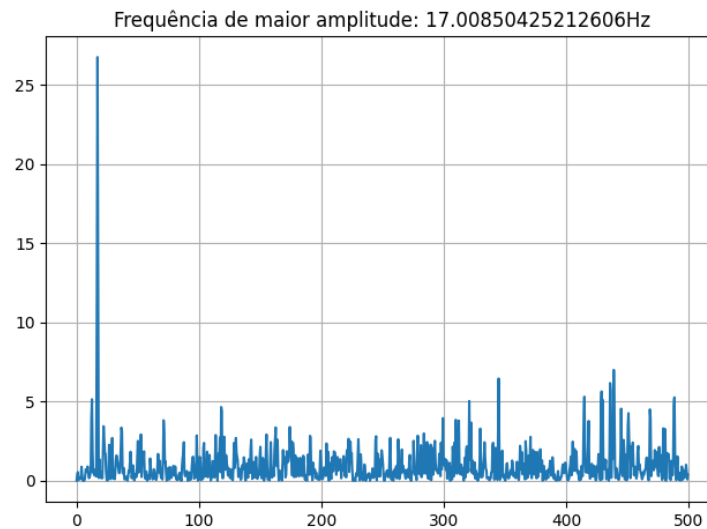


Figura 4 – Espectro do sinal de autocorrelação de  $x(t)$ .

Código Desenvolvido para Resolução do Problema 1:

```

1  # Definindo a sequência  $x(t)$ 
2  t_values = np.arange(0, 33, 1) # valores de  $t$  de 0 a 32 com  $T=1$ 
3  x_values = np.exp(-0.5 * t_values)
4
5  # Resposta ao impulso  $h(t)$ 
6  h_values = np.array([0, 1.5, 0.75, 0.375, 0.1875, 0.09375, 0.046875, 0.0234375])
7
8  # Calculando a convolução de  $x(t)$  e  $h(t)$ 
9  y_values = np.convolve(x_values, h_values, mode='full')
10
11 # Plotando os sinais
12 plt.figure(figsize=(15, 8))
13 plt.subplot(3, 1, 1)
14 plt.plot(t, x1, label='x1(t) - Senoide 17Hz')
15 plt.title('Senoide 1Vpp a 17Hz')
16 plt.legend()
17 plt.grid(True)
18
19 plt.subplot(3, 1, 2)
20 plt.plot(t, x2, label='x2(t) - Ruído 5Vpp', color='red')
21 plt.title('Ruído Aleatório 5Vpp')
22 plt.legend()
23 plt.grid(True)
24
25 plt.subplot(3, 1, 3)
26 plt.plot(t, x, label='x(t) = x1(t) + x2(t)', color='green')
27 plt.title('Sinal Combinado')

```

```

28 plt.legend()
29 plt.grid(True)
30
31 plt.tight_layout()
32 plt.show()
33
34 def autocorrelation(signal):
35     n = len(signal)
36     result = np.zeros(2*n - 1)
37     # p = int(0.5*n)
38     # signal_zeros = np.concatenate((signal[0:p], np.zeros(n-p)))
39     for tau in range(-n + 1, n):
40         if tau < 0:
41             result[tau + n - 1] = np.sum(signal[:tau+n] * signal[-tau:])
42         else:
43             result[tau + n - 1] = np.sum(signal[tau:] * signal[:n-tau])
44     return result*(1/n)
45
46 # Calculando a autocorrelação usando nossa função
47 correlation_custom = autocorrelation(x)
48 correlation_custom /= np.max(correlation_custom) # Normalizando para [-1,1]
49
50 x_f = fft(correlation_custom)
51 Nx = len(correlation_custom) # número de amostras (pontos)
52
53
54 # Eixo do tempo para a autocorrelação
55 lags = np.arange(-len(x) + 1, len(x))
56
57 # Plotando a autocorrelação
58 plt.figure(figsize=(15, 6))
59 plt.plot(lags, correlation_custom)
60 plt.title('Autocorrelação de x(t)')
61 plt.xlabel('Lag')
62 plt.ylabel('Autocorrelação')
63 plt.grid(True)
64 plt.xlim([-200, 200]) # limitando a visualização para -200 a 200 lags para
    ↪ melhor visualização
65 plt.show()
66
67
68 # Propriedade: soma das autocorrelações
69 r11 = autocorrelation(x1)
70 r22 = autocorrelation(x2)
71 rxx = r11+r22
72

```

```

73 plt.figure(figsize=(15, 8))
74 plt.subplot(3, 1, 1)
75 plt.plot(lags, r11, color='blue')
76 plt.title('Autocorrelação do sinal senoidal')
77 plt.grid(True)
78
79 plt.subplot(3, 1, 2)
80 plt.plot(lags, r22, color='red')
81 plt.title('Autocorrelação do sinal aleatório')
82 plt.grid(True)
83
84 plt.subplot(3, 1, 3)
85 plt.plot(lags, rxx, color='green')
86 plt.title('Autocorrelação do sinal ruidoso')
87 plt.grid(True)
88 plt.xlabel('Lag')
89
90 plt.tight_layout()
91 plt.show()
92
93 # Espectro da autocorrelação
94 xs = fft(correlation_custom)
95 Nx = len(correlation_custom) # número de amostras (pontos)
96 x_f = fftfreq(Nx, d=1/fs)[:Nx//2]
97 amp_max = np.argmax(np.abs(xs[0:Nx//2]))
98 # PLOTando
99 plt.plot(x_f, np.abs(xs[0:Nx//2]))
100 plt.title(f'Frequência de maior amplitude: {x_f[amp_max]}Hz')
101 plt.grid(True)
102 plt.tight_layout()
103 plt.show()

```

## Problema 2: Convolução digital de sinal $x(t)$ com a resposta ao impulso do sistema $h(t)$ .

Considerando o sinal  $x(t)$  definido como:

$$x(t) = \exp(-0.5t), \quad 0 \leq t \leq 32T \quad (4)$$

A resposta ao impulso do sistema ( $h(t)$ ) é dada por:

$$h(t) = [0, 1.5, 0.75, 0.375, 0.1875, 0.09375, 0.046875, 0.0234375] \quad (5)$$

Dada a convolução:

$$y(t) = x(t) * h(t) \quad (6)$$

A Figura 5 detalha o comportamento do sinal  $x(t)$ , da resposta ao impulso  $h(t)$  e da convolução digital entre os dois sinais  $y(t)$ .

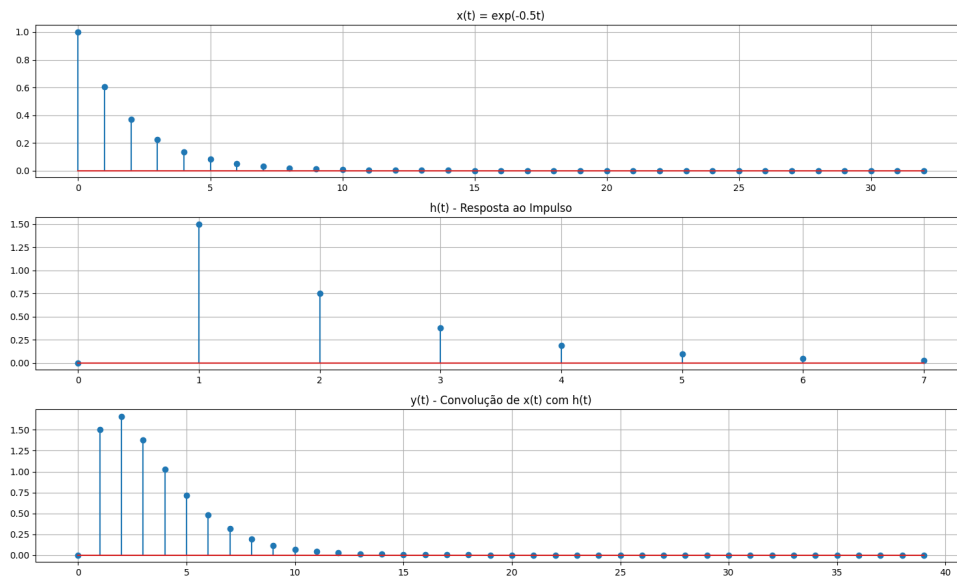


Figura 5 – Sinais e convolução digital.

Código Desenvolvido para Resolução do Problema 2:

```

1  # Definindo a sequência x(t)
2  t_values = np.arange(0, 33, 1) # valores de t de 0 a 32 com T=1
3  x_values = np.exp(-0.5 * t_values)
4
5  # Resposta ao impulso h(t)
6  h_values = np.array([0, 1.5, 0.75, 0.375, 0.1875, 0.09375, 0.046875, 0.0234375])
7
8  # Calculando a convolução de x(t) e h(t)
9  y_values = np.convolve(x_values, h_values, mode='full')
10
11 # Plotando x(t), h(t) e y(t)
12 plt.figure(figsize=(15, 9))
13
14 # x(t)
15 plt.subplot(3, 1, 1)
16 plt.stem(t_values, x_values, use_line_collection=True)
17 plt.title('x(t) = exp(-0.5t)')
18 plt.grid(True)
19
20 # h(t)
21 plt.subplot(3, 1, 2)
22 plt.stem(h_values, use_line_collection=True)
23 plt.title('h(t) - Resposta ao Impulso')
24 plt.grid(True)

```

```

25
26 # y(t)
27 plt.subplot(3, 1, 3)
28 plt.stem(y_values, use_line_collection=True)
29 plt.title('y(t) - Convolução de x(t) com h(t)')
30 plt.grid(True)
31
32 plt.tight_layout()
33 plt.show()

```

### Problema 3: Filtro FIR e resposta em frequência.

Considerando o seguinte sinal  $S(t)$ :

$$S(t) = \text{sen}(2\pi f_1 t) + \text{sen}(2\pi f_2 t) + \text{sen}(2\pi f_3 t) \quad (7)$$

Sendo  $f_1 = 750\text{Hz}$ ,  $f_2 = 2500\text{Hz}$ ,  $f_3 = 3250\text{Hz}$  e a frequência de amostragem igual a  $8\text{kHz}$ . Foi então projetado um filtro FIR passa baixa com as seguintes especificações: frequência de corte ( $f_c$ ):  $1,5\text{kHz}$ ; banda de transição ( $\Delta f$ ):  $0,5\text{kHz}$ ; atenuação da faixa de rejeição:  $> 50\text{dB}$  e frequência de amostragem ( $f_s$ ):  $8\text{kHz}$

Dadas as especificações do filtro, constatou-se que a janela de Hamming satisfaz o problema, cuja matemática é definida como:

$$w(n) = 0.54 + 0.46 \times \cos\left(\frac{2\pi n}{N}\right) \quad (8)$$

Sendo  $N$  o número de coeficientes do filtro. Considerando que a banda de transição em  $\text{Hz}$ , normalizada, para a janela de Hamming é calculada por:

$$\Delta f = \frac{3,3}{N} \quad (9)$$

É possível então calcular o número de coeficientes do filtro ( $N$ ). Sendo  $\Delta f$  a fração da frequência de amostragem, ou seja:

$$\Delta f = \frac{0,5\text{kHz}}{8\text{kHz}} = 0,0625 \quad (10)$$

Logo:

$$N = \frac{3,3}{0,0625} = 52,8 \quad (11)$$

Tomamos, portanto,  $N = 53$  coeficientes. O intervalo dos coeficientes do filtro, definido por:

$$|n| \leq \frac{(N-1)}{2} \quad (12)$$

Resulta na equação final, definida como:

$$h(n) = h_d(n) \times w(n) \quad (13)$$

$$-26 \leq n \leq 26$$

Em que o filtro propriamente dito é dado por:

$$h_d(n) = \begin{cases} 2f_c \times \frac{\text{sen}(nw_c)}{nw_c}, & n \neq 0 \\ 2f_c, & n = 0 \end{cases} \quad (14)$$

Que será aplicado em conjunto com a janela de Hamming 8. Porém, devido ao uso desta janela na resposta do filtro, a frequência de corte do filtro resultante será diferente da especificada ( $1,5kHz$ ). Para este caso,  $f_c$  é recalculada, sendo centrada na banda de transição. Assim:

$$f_c = f_c + \frac{\Delta f}{2} = 1,5 + \frac{0,5}{2} = 1,75kHz \quad (15)$$

Sendo a  $f_c$  normalizada dada por:

$$f_c = \frac{1,75kHz}{8kHz} = 0,21875 \quad (16)$$

Considerando que o filtro  $h(n)$  é simétrico e após a implementação do algoritmo para cálculos dos seus coeficientes, o filtro resultante é ilustrado na Figura 6.

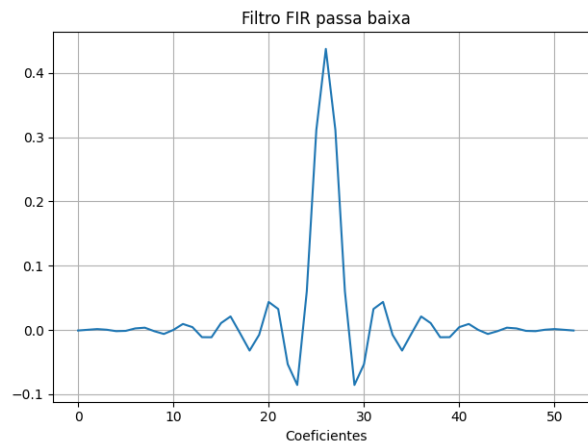


Figura 6 – Filtro FIR passa baixa com  $N = 53$  coeficientes, utilizando a janela de Hamming.

A Figura 7 ilustra o sinal  $S(t)$  para  $6s$ , o espectro de frequência deste sinal, destacando a atividade em  $f_1$ ,  $f_2$  e  $f_3$ , o sinal filtrado pelo filtro FIR passa baixa e o espectro de frequência do sinal filtrado, com atividade na componente frequencial de  $f_1 = 750Hz$ , uma vez que a frequência de corte do filtro é  $1,5kHz$ , ou seja,  $f_2$  e  $f_3$  são eliminadas pelo filtro.

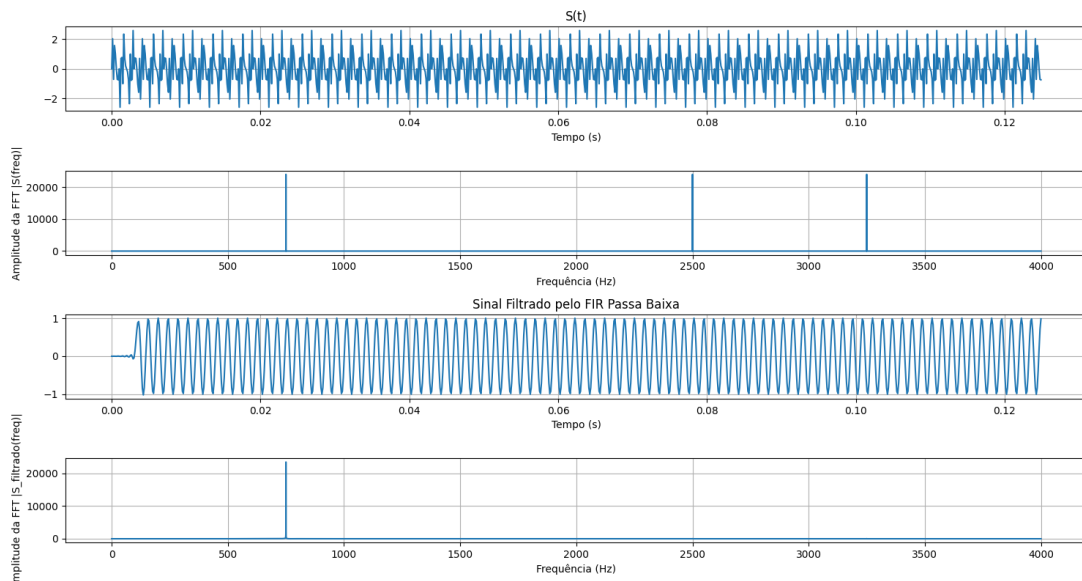


Figura 7 – Sinais original e filtrado com seus respectivos espectros de frequência.



### Código Desenvolvido para Resolução do Problema 3:

```
1  # Gerando o sinal S
2  f1 = 750
3  f2 = 2500
4  f3 = 3250
5  fs = 8000
6  T = 1/fs # período de amostragem
7  t = np.arange(0, 6, T) # vetor de tempo
8  S = np.sin(2 * np.pi * f1 * t) + np.sin(2 * np.pi * f2 * t) + np.sin(2 * np.pi *
   ↪ f3 * t)
9
10 # Espectro de frequência de S
11 S_f = fft(S)
12 N = len(S) # número de amostras (pontos)
13 xf = fftfreq(N, d=T)[:N//2]
14
15 # calculo dos coeficientes do filtro FIR usando o método da janela com a função
   ↪ Hamming
16 f_cutoff = 1500
17 delta_f = 500
18 delta_f_normalised = delta_f/fs
19 print(f'Banda de Transição normalizada:{delta_f_normalised}')
20 N_coeff = int(np.ceil(3.3/delta_f_normalised))
21 print(f'Número de coeficientes do filtro FIR:{N_coeff}')
22 n = np.arange(-(N_coeff-1)/2, (N_coeff-1)/2+1)
23 print(f'Índices:{n}')
24
25 # Devido ao uso da janela, a frequência de corte resultante será diferente da
   ↪ especificada (f_cutoff). Normalizando:
26 f_cutoff = f_cutoff + delta_f/2
27 f_cutoff_normalised = f_cutoff/fs
28 print(f'Nova frequência de corte normalizada:{f_cutoff_normalised}')
29
30 hd = np.zeros(int((N_coeff-1)/2)+1)
31 w = np.zeros(int((N_coeff-1)/2)+1)
32 h = np.zeros(N_coeff)
33
34 for n in range(int((N_coeff-1)/2)+1): # 0 a 26
35
36     if n == 0:
37         hd[n] = 2 * f_cutoff_normalised
38     else:
39         hd[n] = 2 * f_cutoff_normalised *
   ↪ np.sin(n*2*np.pi*f_cutoff_normalised)/(n*2*np.pi*f_cutoff_normalised)
40
```

```

41     w[n] = 0.54 + 0.46 * np.cos((2*np.pi*n)/N_coef)
42
43     h[26-n] = h[n+26] = hd[n] * w[n] # simetria
44
45     print(f'Coeficientes do filtro FIR:{h}')
46
47     # Filtrando o sinal
48     S_filtered = np.convolve(h,S)
49
50     # espectro do sinal filtrado
51     Sfiltered_f = fft(S_filtered)
52     N2 = len(Sfiltered_f) # número de amostras (pontos)
53     xf2 = fftfreq(N2, d=T)[:N2//2]
54
55     # Plot da janela
56     plt.plot(h)
57     plt.title('Filtro FIR passa baixa')
58     plt.xlabel('Coeficientes')
59     plt.grid(True)
60     plt.tight_layout()
61     plt.show()
62
63     # Plot do sinal e do seu espectro de frequência
64     plt.figure(figsize=(15, 8))
65     plt.subplot(4, 1, 1)
66     plt.plot(t[0:1000], S[0:1000], label='S(t)')
67     plt.title('S(t)')
68     plt.grid(True)
69     plt.xlabel('Tempo (s)')
70
71     plt.subplot(4,1,2)
72     # plt.plot(xf, 2.0/N * np.abs(S_f[0:N//2]), label='S(f)')
73     plt.plot(xf, np.abs(S_f[0:N//2]), label='S(f)')
74     plt.grid(True)
75     plt.xlabel('Frequência (Hz)')
76     plt.ylabel('Amplitude da FFT |S(freq)|')
77
78
79     plt.subplot(4, 1, 3)
80     plt.plot(t[0:1000], S_filtered[0:1000])
81     plt.title('Sinal Filtrado pelo FIR Passa Baixa')
82     plt.grid(True)
83     plt.xlabel('Tempo (s)')
84
85     plt.subplot(4,1,4)
86     # plt.plot(xf, 2.0/N * np.abs(S_f[0:N//2]), label='S(f)')

```

```

87 plt.plot(xf2, np.abs(Sfiltered_f[0:N2//2]))
88 plt.grid(True)
89 plt.xlabel('Frequência (Hz)')
90 plt.ylabel('Amplitude da FFT |S_filtrado(freq)|')
91
92
93 plt.tight_layout()
94 plt.show()
95

```

#### Problema 4: Método da colocação de pólos e zeros no plano Z usando sinal de ECG.

Considerando as seguintes especificações do filtro Notch:

1. Notch frequency 60 Hz
2. 3dB width of notch  $\pm 5$  Hz
3. Sampling frequency 1200 Hz ou alguma frequência múltipla de 60 Hz.

E tendo como sequência de dados, um sinal de ECG de 15 segundos amostrado a uma taxa de 500Hz. A Figura 8 detalha um trecho do sinal ECG bruto.

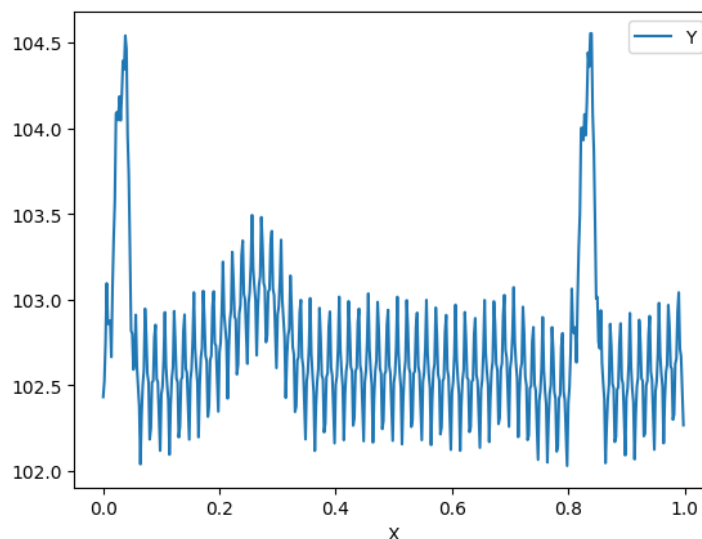


Figura 8 – Trecho do sinal original. Constata-se a forte presença da interferência de 60Hz.

Foi realizada a reamostragem do sinal para uma frequência de amostragem de 1200Hz. Além disso, aplicou-se a interpolação para estimar os novos valores de amplitude nos pontos de tempo reamostrados. Em seguida, um filtro FIR passa-faixa de 0,04 – 40Hz foi aplicado através de um estágio passa alta e um estágio passa baixa, com ordens 3 e 4, respectivamente.

A Figura 9 ilustra o sinal após a aplicação do filtro passa-faixa.

Após a aplicação do filtro passa-faixa, foi então aplicado o filtro Notch de 60Hz, calculado através da alocação de pólos e zeros. A Figura 10 ilustra o sinal ECG após a aplicação do Notch.

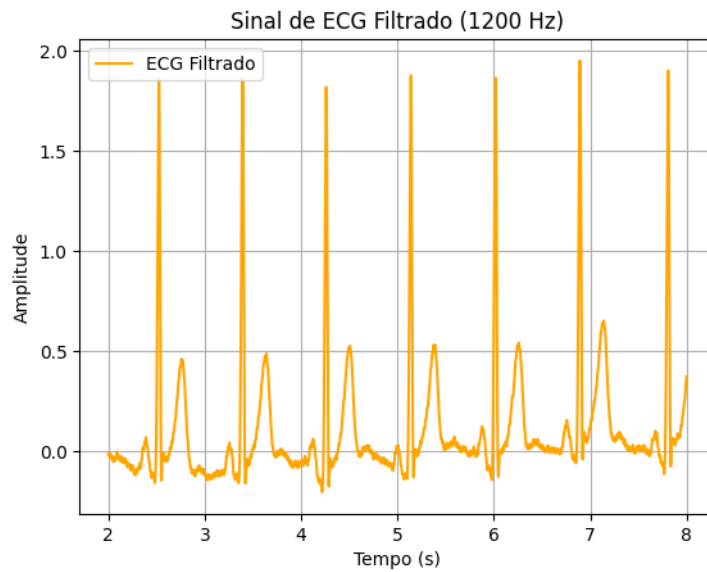


Figura 9 – Sinal ECG reamostrado, após aplicação do filtro passa-faixa.

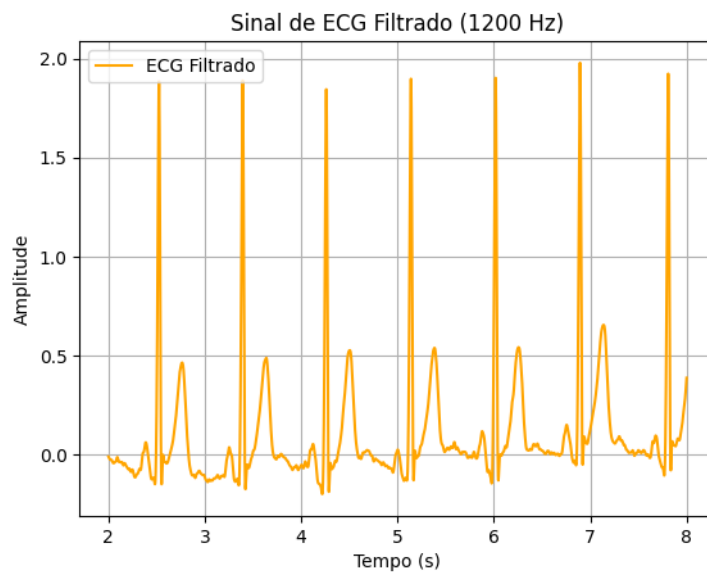


Figura 10 – Sinal após a aplicação do filtro Notch.

A Figura 11 mostra o Diagrama de Bode do filtro Notch em  $60\text{Hz}$ . Veja a faixa de rejeição em  $60\text{Hz}$  na curva de magnitude.

A Figura 12 ilustra um trecho do sinal bruto comparado com o mesmo trecho do sinal filtrado resultante.

Já a Figura 13 detalha o espectro de frequência do sinal antes e após a filtragem, destacando a atividade em baixas frequências.

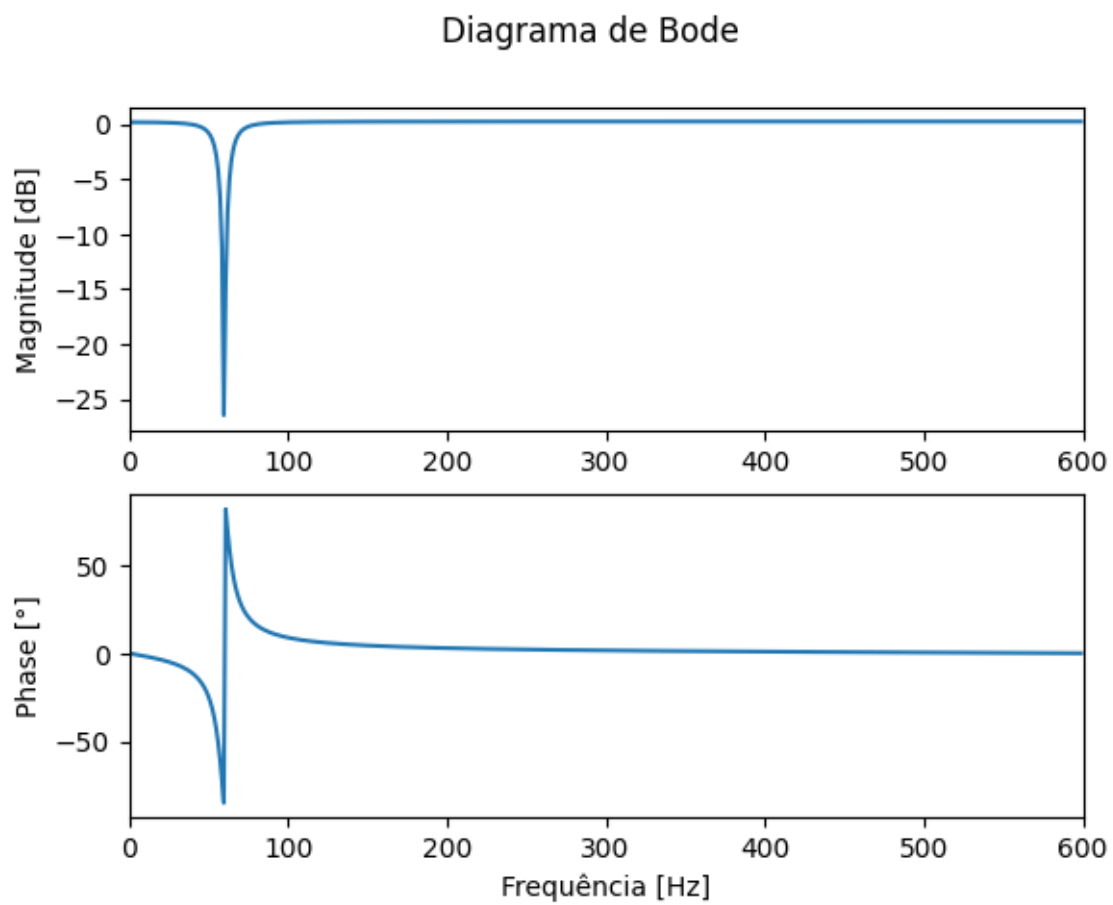


Figura 11 – Diagrama de Bode do filtro Notch.

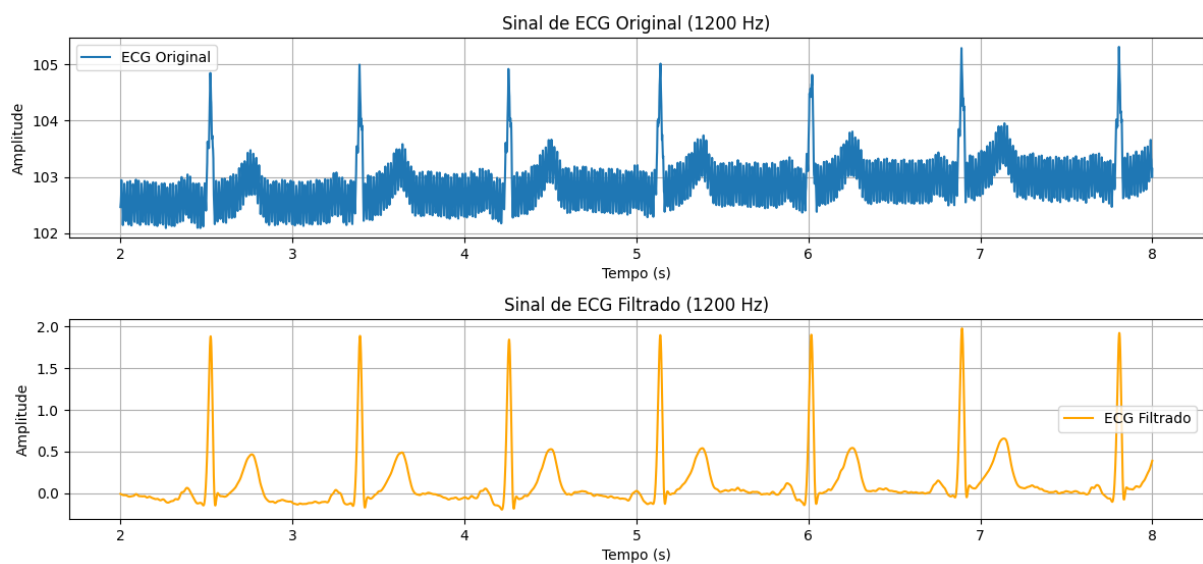


Figura 12 – Caption

Código Desenvolvido para Resolução do Problema 1:

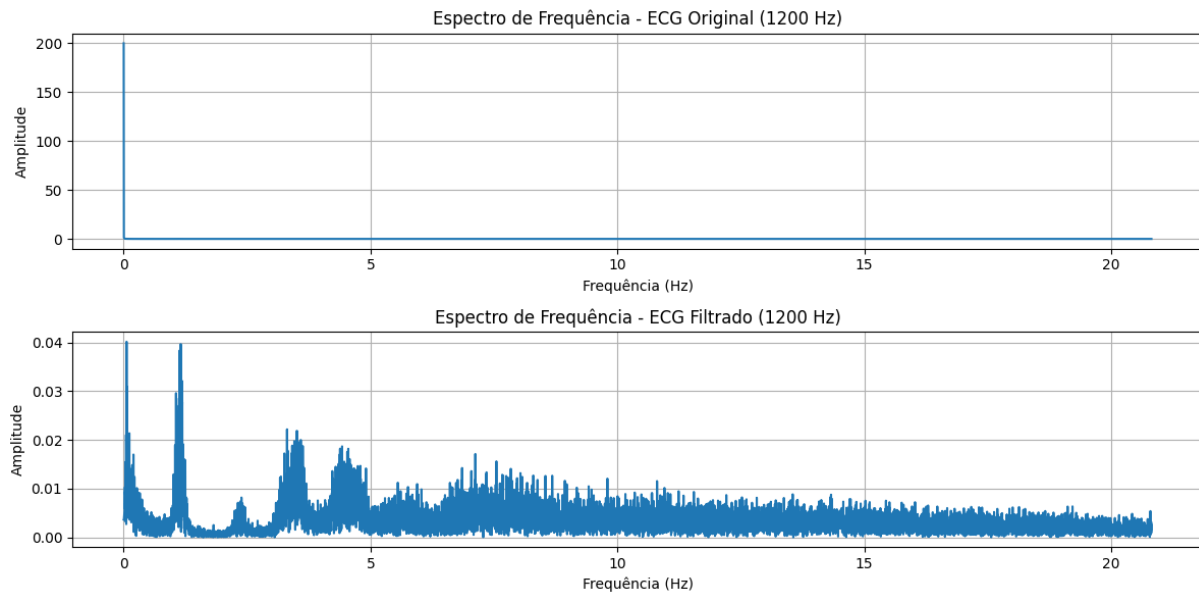


Figura 13 – Espectro de Frequência do sinal bruto e filtrado.

```

1  ECGtest03 = "/content/drive/MyDrive/PDSB/ECG and PPG
   ↳ Signals-20231021/ECGtest03.txt"
2
3  import pandas as pd
4  import numpy as np
5  import matplotlib.pyplot as plt
6  from scipy.interpolate import interp1d
7  from scipy.signal import lfilter
8  from scipy.fft import fft
9
10 ecg_df = pd.read_csv(ECGtest03, sep="\t", names=["X", "Y"])
11 ecg_df
12
13 ecg_df.iloc[:500].plot(x='X', y='Y')
14
15 largura_banda_3dB = 10
16 frequencia_notch = 60
17 # Calcular a frequência de amostragem
18 tempo = ecg_df["X"].to_numpy()
19 frequencia_amostragem = 1 / (tempo[1] - tempo[0])
20 frequencia_amostragem
21
22 amplitude = ecg_df["Y"].to_numpy()
23
24 # Criar uma função de interpolação
25 interp_funcao = interp1d(tempo, amplitude, kind='linear')
26

```

```

27 nova_frequencia_amostragem_1200Hz = 1200 # 1200 Hz
28
29 # Gerar novos pontos de tempo para a nova frequência de amostragem
30 tempo_reamostrado_1200Hz = np.arange(tempo[0], tempo[-1],
    ↳ 1/nova_frequencia_amostragem_1200Hz)
31
32 # Interpolar para obter os novos valores de amplitude
33 amplitude_reamostrada_1200Hz = interp_funcao(tempo_reamostrado_1200Hz)
34
35 # Mostrar algumas informações básicas sobre os dados reamostrados
36 pd.DataFrame({
37     "Tempo (s)": tempo_reamostrado_1200Hz[:5],
38     "Amplitude": amplitude_reamostrada_1200Hz[:5]
39 })
40 plt.plot(tempo_reamostrado_1200Hz, amplitude_reamostrada_1200Hz, label="ECG
    ↳ Original")
41
42 # Calcular o raio dos polos (r) para a nova frequência de amostragem
43 r_1200Hz = 1 - np.pi * largura_banda_3dB / nova_frequencia_amostragem_1200Hz
44
45 # Calcular os coeficientes do filtro Notch para a nova frequência de amostragem
46 b0_1200Hz = 1
47 b1_1200Hz = -2 * np.cos(2 * np.pi * frequencia_notch /
    ↳ nova_frequencia_amostragem_1200Hz)
48 b2_1200Hz = 1
49 a0_1200Hz = 1
50 a1_1200Hz = -2 * r_1200Hz * np.cos(2 * np.pi * frequencia_notch /
    ↳ nova_frequencia_amostragem_1200Hz)
51 a2_1200Hz = r_1200Hz**2
52
53 # Coeficientes do filtro para a nova frequência de amostragem
54 b_1200Hz = [b0_1200Hz, b1_1200Hz, b2_1200Hz]
55 a_1200Hz = [a0_1200Hz, a1_1200Hz, a2_1200Hz]
56
57
58 TF_notch = control.tf(b_1200Hz, a_1200Hz)
59
60 # b_1200Hz, a_1200Hz
61 TF_notch
62
63 w, h = freqz(b_1200Hz, a_1200Hz) # resposta em frequencia
64 w *= nova_frequencia_amostragem_1200Hz / (2 * np.pi) # convertendo rad/sample
    ↳ para Hz
65 # Plotando o diagrama de bode:
66 plt.subplot(2, 1, 1)
67 plt.suptitle('Diagrama de Bode')

```

```

68 plt.plot(w, 20 * np.log10(abs(h))) # Convert to dB
69 plt.ylabel('Magnitude [dB]')
70 plt.xlim(0, nova_frequencia_amostragem_1200Hz / 2)
71
72 plt.subplot(2, 1, 2) # Plot the phase response
73 plt.plot(w, 180 * np.angle(h) / np.pi) # Convert argument to degrees
74 plt.xlabel('Frequência [Hz]')
75 plt.ylabel('Phase [°]')
76 plt.xlim(0, nova_frequencia_amostragem_1200Hz / 2)
77
78 # Filtro passa faixa
79 # Ordem do filtro
80 order_low = 4
81 order_high = 3
82
83 # faixa de frequencia do filtro
84 f_low = 40
85 f_high = 0.04
86
87 # calculando os filtros que compoem do passa-faixa
88 b_low, a_low = butter(order_low, f_low, fs=nova_frequencia_amostragem_1200Hz,
    ↳ btype='lowpass')
89 b_high, a_high = butter(order_high, f_high,
    ↳ fs=nova_frequencia_amostragem_1200Hz, btype='highpass')
90
91 # Filtrando o sinal pelo passa-alta
92 ecg_filtrado_1200Hz = filtfilt(b_high, a_high, amplitude_reamostrada_1200Hz)
93
94 # Filtrando o sinal pelo passa-baixa
95 ecg_filtrado_1200Hz = filtfilt(b_low, a_low, ecg_filtrado_1200Hz)
96
97 ecg_filtrado_1200Hz
98
99 # pós filtro passa-faixa
100 plt.plot(tempo_reamostrado_1200Hz[2400:9600], ecg_filtrado_1200Hz[2400:9600],
    ↳ label="ECG Filtrado", color='orange')
101 plt.xlabel("Tempo (s)")
102 plt.ylabel("Amplitude")
103 plt.title("Sinal de ECG Filtrado (1200 Hz)")
104 plt.grid(True)
105 plt.legend()
106
107 # Aplicar o filtro Notch ao sinal de ECG reamostrado para 1200 Hz
108 ecg_filtrado_1200Hz = lfilter(b_1200Hz, a_1200Hz, ecg_filtrado_1200Hz)
109
110 # Mostrar algumas amostras do sinal filtrado

```



```

111 pd.DataFrame({
112     "Tempo (s)": tempo_reamostrado_1200Hz[:5],
113     "ECG Original": amplitude_reamostrada_1200Hz[:5],
114     "ECG Filtrado": ecg_filtrado_1200Hz[:5]
115 })
116
117 # plot pós notch
118 plt.plot(tempo_reamostrado_1200Hz[2400:9600], ecg_filtrado_1200Hz[2400:9600],
119     ↪ label="ECG Filtrado", color='orange')
120 plt.xlabel("Tempo (s)")
121 plt.ylabel("Amplitude")
122 plt.title("Sinal de ECG Filtrado (1200 Hz)")
123 plt.grid(True)
124 plt.legend()
125
126 # Configurar o tamanho da figura
127 plt.figure(figsize=(12, 8))
128
129 # Plotar o sinal de ECG original para 1200 Hz
130 plt.subplot(3, 1, 1)
131 plt.plot(tempo_reamostrado_1200Hz[2400:9600],
132     ↪ amplitude_reamostrada_1200Hz[2400:9600], label="ECG Original")
133 plt.xlabel("Tempo (s)")
134 plt.ylabel("Amplitude")
135 plt.title("Sinal de ECG Original (1200 Hz)")
136 plt.grid(True)
137 plt.legend()
138
139 # Plotar o sinal de ECG filtrado para 1200 Hz
140 plt.subplot(3, 1, 2)
141 plt.plot(tempo_reamostrado_1200Hz[2400:9600], ecg_filtrado_1200Hz[2400:9600],
142     ↪ label="ECG Filtrado", color='orange')
143 plt.xlabel("Tempo (s)")
144 plt.ylabel("Amplitude")
145 plt.title("Sinal de ECG Filtrado (1200 Hz)")
146 plt.grid(True)
147 plt.legend()
148
149 plt.tight_layout()
150 plt.show()
151
152 # Configurar o tamanho da figura
153 plt.figure(figsize=(12, 8))
154
155 # Plotar o sinal de ECG original para 1200 Hz
156 plt.subplot(3, 1, 1)

```

```

154 plt.plot(tempo_reamostrado_1200Hz, amplitude_reamostrada_1200Hz, label="ECG
    ↪ Original")
155 plt.xlabel("Tempo (s)")
156 plt.ylabel("Amplitude")
157 plt.title("Sinal de ECG Original (1200 Hz)")
158 plt.grid(True)
159 plt.legend()
160
161 # Plotar o sinal de ECG filtrado para 1200 Hz
162 plt.subplot(3, 1, 2)
163 plt.plot(tempo_reamostrado_1200Hz, ecg_filtrado_1200Hz, label="ECG Filtrado",
    ↪ color='orange')
164 plt.xlabel("Tempo (s)")
165 plt.ylabel("Amplitude")
166 plt.title("Sinal de ECG Filtrado (1200 Hz)")
167 plt.grid(True)
168 plt.legend()
169
170 plt.tight_layout()
171 plt.show()
172
173 # Função para calcular e plotar o espectro de frequência
174 def plotar_espectro_de_frequencia(sinal, frequencia_amostragem, titulo):
175     n = len(sinal)
176     T = 1 / frequencia_amostragem
177     yf = fft(sinal)
178     xf = fftfreq(n, T)[:n//2]
179     plt.plot(xf[0:10000], 2.0/n * np.abs(yf[0:n//2])[0:10000])
180     plt.grid()
181     plt.title(titulo)
182     plt.xlabel('Frequência (Hz)')
183     plt.ylabel('Amplitude')
184
185 # Configurar o tamanho da figura
186 plt.figure(figsize=(12, 6))
187
188 # Espectro de frequência do sinal de ECG original para 1200 Hz
189 plt.subplot(2, 1, 1)
190 plotar_espectro_de_frequencia(amplitude_reamostrada_1200Hz,
    ↪ nova_frequencia_amostragem_1200Hz, "Espectro de Frequência - ECG Original
    ↪ (1200 Hz)")
191
192 # Espectro de frequência do sinal de ECG filtrado para 1200 Hz
193 plt.subplot(2, 1, 2)

```

```
194 plotar_espectro_de_frequencia(ecg_filtrado_1200Hz,  
    ↪ nova_frequencia_amostragem_1200Hz, "Espectro de Frequência - ECG Filtrado  
    ↪ (1200 Hz)")  
195  
196 plt.tight_layout()  
197 plt.show()  
198
```